

# Interaktive Extraktion minimaler unerfüllbarer Kerne unter Verwendung von Metalernen (Diplomarbeit)

Johannes Dellert

Universität Tübingen

08.03.2013

# Übersicht

- 1 Grundlagen
  - Minimale unerfüllbare Kerne
  - MUSes im Teilmengenverband
  - Löschungsbasierter Extraktionsalgorithmus
- 2 Interaktive MUS-Extraktion
- 3 Metalernen über Selektorvariablen
- 4 Blockbasiertes Metalernen
- 5 Fazit

# Minimale unerfüllbare Kerne

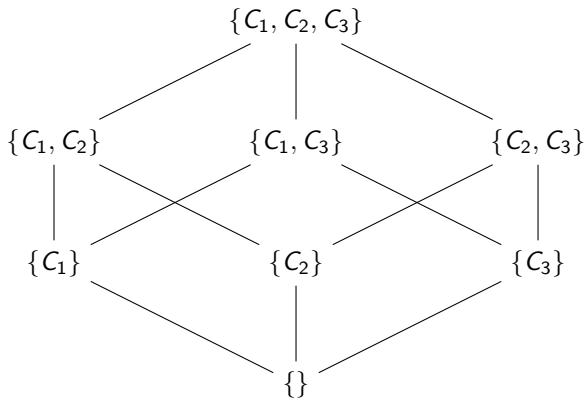
## Definition

Eine Untermenge  $F' \subseteq F$  einer unerfüllbaren Klauselmenge  $F$  ist eine **minimale unerfüllbare Untermenge (MUS)** von  $F$  wenn sie unerfüllbar, aber jede Untermenge  $F'' \subset F'$  erfüllbar ist.

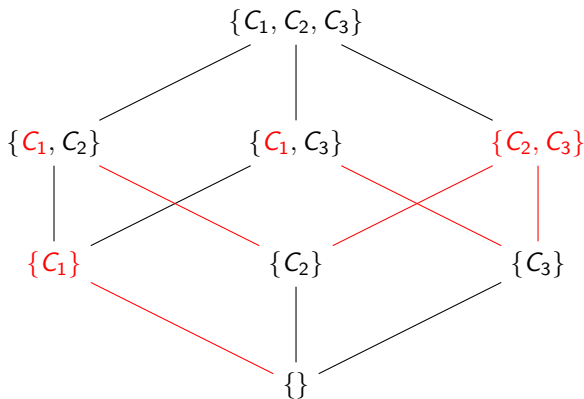
## Eigenschaft

Eine Klauselmenge  $F$  ist eine MUS genau dann, wenn sie unerfüllbar ist, aber  $F \setminus \{C\}$  erfüllbar ist für jede Klausel  $C \in F$  (**kritische Klausel**).  
(denn Konjunktion ist monoton bzgl. Unerfüllbarkeit)

# MUSes im Teilmengenverband



# MUSes im Teilmengenverband



# Löschungsbasierter Extraktionsalgorithmus

**Input:** an unsatisfiable SAT instance  $F = \{C_1, \dots, C_m\}$  in CNF

**Output:** some minimal unsatisfiable subset  $S \subseteq F$

```

1:  $F' := \{\}$ 
2: for each clause  $C_i \in F$  do
3:    $F' := F' \cup \{C_i \vee \neg s_i\}$  for a new selector variable  $s_i$ 
4: end for
5:  $\langle res, proof, \varphi, units \rangle := sat(F', \{s_1, \dots, s_m\})$ 
6: for each  $C_j \notin used\_clauses(proof)$  do
7:    $F' := F' \cup \{\neg s_j\}$ 
8: end for
9:  $US := \{i \mid C_i \in used\_clauses(proof)\}$ 
10:  $MUS := \{\}$ 
11: while ( $US$  is not empty) do
12:    $k :=$  select one index  $\in US \setminus MUS$ 
13:    $US := US \setminus \{k\}$ 
14:    $\langle res, proof, \varphi, units \rangle := sat(F', \{s_i \mid i \in US \cup MUS\})$ 
15:   if  $res = sat$  then
16:      $MUS := MUS \cup \{k\}$ 
17:   else
18:      $US := \{i \mid C_i \in used\_clauses(proof)\}$ 
19:     for each  $C_j \notin used\_clauses(proof)$  do
20:        $F' := F' \cup \{\neg s_j\}$ 
21:     end for
22:   end if
23: end while
24: return  $S := \{C_i \mid i \in MUS\}$ 

```

# Übersicht

- 1 Grundlagen
- 2 Interaktive MUS-Extraktion**
  - Der Reduktionsgraph
  - Die US-Ansicht
  - Automatisierte Extraktion
- 3 Metalernen über Selektorvariablen
- 4 Blockbasiertes Metalernen
- 5 Fazit

# Interaktive Extraktion: Motivation

## Nachteile herkömmlicher Implementierungen von MUS-Extraktion

- MUS-Extraktoren sind Black Boxes, liefern irgendein MUS
- man erfährt nichts über den Suchraum, kann nur schwer vergleichen

## Idee: Interaktive Extraktion

- explizite Visualisierung des Suchraums als Teilhalbverband
- manuelle Ausführung vom Benutzer definierter Reduktionsschritte

## Vorteile der interaktiven MUS-Extraktion

- liefert einen sehr guten Eindruck von der Struktur des Suchraums
- Experten können Reduktionsversuche anhand inhaltlicher Kriterien ausführen, mehrere interessante MUSes finden und vergleichen
- Synergieeffekte zwischen verschiedenen Zweigen, wenn partielles Wissen gespeichert wird und effizient abrufbar bleibt





# Reduktionsgraph: Konzept, Repräsentation

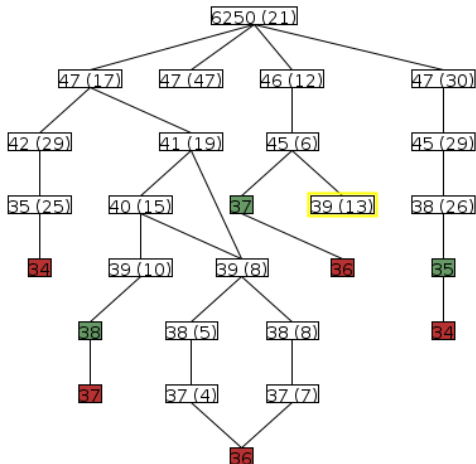
## Definition

Sei  $F$  eine unerfüllbare Klauselmengende. Ein **Reduktionsgraph**  $R = (V, E)$  für  $F$  besteht aus Knoten  $v_i \in V$ , die für unerfüllbare Untermengen  $V_i \subseteq F$  stehen, und enthält eine Kante  $(v_i, v_j) \in E$  gdw.  $V_j$  das Ergebnis der erfolgreichen Löschung einer redundanten Klausel aus  $V_i$  war, möglicherweise gefolgt von einer Zusatzoperation wie Klauselmengenverfeinerung.

## Repräsentation

- jede US im Reduktionsgraphen erhält eine ID, wird repräsentiert durch eine **Reduktionstabelle**, d.h. eine Abbildung der Klausel-IDs auf US-IDs, die die Kanten des Reduktionsgraphen darstellen
- spezielle Werte -1 für kritische Klausel, -2 für redundante Klausel mit unbekanntem Reduktionsergebnis, null für unbekanntem Status

# Reduktionsgraph: Visualisierung



# US-Ansicht: Darstellung der US

```
Current US
637: {316,1666}
638: {-316,-1666}
639: {1698,position_status_open(3,1)}
640: {-1698,-position_status_open(3,1)}
641: {position_status_open(3,1),-position_status_open(3,1)}
642: {-position_status_open(3,1),-position_status_open(3,1)}
643: {1699,-position_status_open(3,1)}
644: {-1699,-position_status_open(3,1)}
645: {-position_status_open(3,1),2083,place_edges_tag(2,0,unary)}
646: {-position_status_open(3,1),-2083}
647: {-position_status_open(3,1),-place_edges_tag(2,0,unary)}
648: {1700,position_status_open(2,1)}
649: {-1700,-position_status_open(2,1)}
650: {position_status_open(2,1),-position_status_open(2,1)}
651: {-position_status_open(2,1),-position_status_open(2,1)}
652: {1701,-position_status_open(2,1)}
653: {-1701,-position_status_open(2,1)}
654: {-position_status_open(2,1),2082,place_edges_tag(1,0,unary)}
655: {-position_status_open(2,1),-2082}
```

## US-Ansicht: Selektionsinterface

The screenshot displays the 'US-Ansicht' (User Selection Interface) for clause selection. On the left, a 'Reduction graph' shows a vertical sequence of clause counts: 5074 (369), 512 (345), 418 (273), 386 (227), and 375 (74). The 'Current US' panel on the right shows a list of clauses, with a context menu open over the selected clause 327. The menu options are: 'Select all', 'Subselection' (with a sub-menu), 'Reduce by this clause (= double-click)', 'Reduce by this clause + model rotation', 'Reduce by selected clauses at once', 'Reduce by selected clauses individually', and 'Reduce to Lean Kernel'. The 'Subselection' sub-menu includes: 'By status', 'By size', 'First', 'Last', 'Random', and 'containing literal ...'. The 'Random' sub-menu is further expanded to show options for selecting a specific number of clauses: 'clause', '2 clauses', '5 clauses', '10 clauses', '20 clauses' (highlighted by the mouse), '50 clauses', and '100 clauses'. The clause list in the background includes entries like 327: (1849, position\_affected(2,3)), 328: {1844, position\_affected(1,3)}, 329: {1785, position\_affected(1,2)}, 330: {1780, position\_affected(2,2)}, 331: {1711, position\_affected(2,1)}, and 332: {1706, position\_affected(1,1)}.

### Das Selektionsinterface für Klauseln in der US

- funktioniert nach dem Filterprinzip (Definition einer Unterauswahl)
- ermöglicht (Unter-)Auswahl nach inhaltlichen Kriterien (Status, Größe, enthaltenes Literal)
- auch (Unter-)Auswahl einer festen Zahl von Klauseln möglich (vom Anfang, vom Ende, zufällig gewählt)

# US-Ansicht: Funktionalität

## Über US-Ansicht aufrufbare Funktionalität

- per Doppelklick wird ein einfacher Reduktionsversuch für die entsprechende Klausel ausgeführt
  - bei einem fehlgeschlagenen Versuch wird die festgestellte Kritikalität registriert und visualisiert
  - bei einem erfolgreichen Versuch wird die Ergebnis-US zum Reduktionsgraphen hinzugefügt (falls neu), die Reduktionstabelle wird aktualisiert, und wir wechseln zum verkleinerten US
- per Kontextmenü erreichbar sind
  - Versuch simultaner Reduktion aller momentan ausgewählter Klauseln
  - automatisierte Reduktionsversuche für alle ausgewählten Klauseln
  - Reduktionsversuch gefolgt von Modellrotation nach Scheitern
  - Reduktion der aktuellen US auf den Lean Kernel (Autarky Pruning)

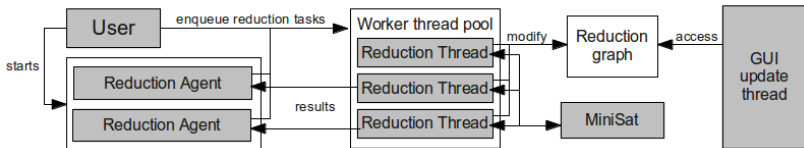
# Automatisierte Extraktion: Konzepte

## Reduktionsagenten

- sind durch den Benutzer definier- und startbar; agieren wie Durchläufe eines löschbasierten Extraktionsalgorithmus
- Reduktionsversuche mit bekanntem Ergebnis werden nur simuliert

## Reduktionsthreads

- werden von einer Aufgabenverwaltung initialisiert und gestartet
- führen je einen Minisat-Aufruf aus und geben das Ergebnis per Callback an den jeweiligen Reduktionsagenten zurück



# Automatisierte Extraktion: Heuristiken

## Reduktionsheuristik

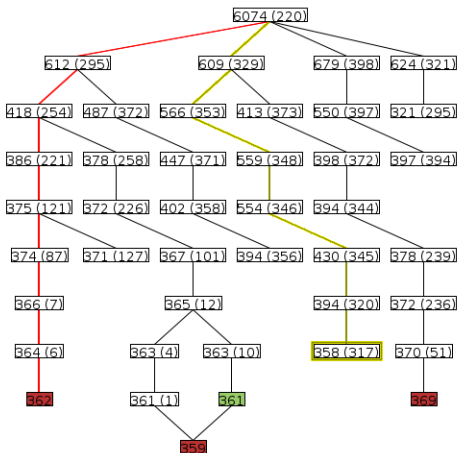
- jeder Reduktionsagent erhält als Argument die Instanz einer **Reduktionsheuristik**, die ihn steuert
- eine Heuristik entscheidet anhand des aktuellen Wissens des Reduktionsagenten, welcher Reduktionsversuch als nächstes gestartet wird; sie stellt auch das Auffinden eines MUSes fest

## Vordefinierte Heuristiken

<b>ascending index heuristic</b>	goes through the US clauses by ascending ID
<b>descending index heuristic</b>	goes through the US clauses by descending ID
<b>centered index heuristic</b>	spirals through the US clauses starting in the middle
<b>ascending relevance heuristic</b>	goes through the US clauses in order of relevance, starting with the least relevant clause
<b>descending relevance heuristic</b>	goes through the US clauses in order of relevance, starting with the most relevant clause
<b>centered relevance heuristic</b>	starts with the US clauses of medium relevance, then spiraling out to ever more and less relevant ones



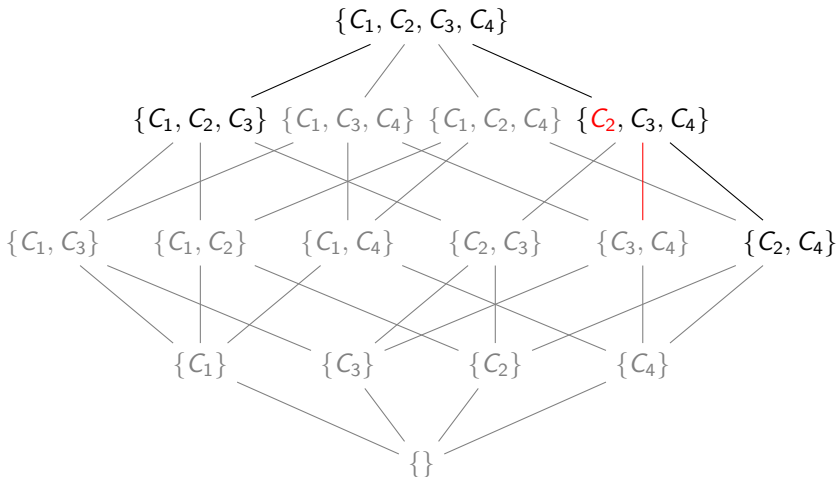
# Automatisierte Extraktion: Agentenspuren



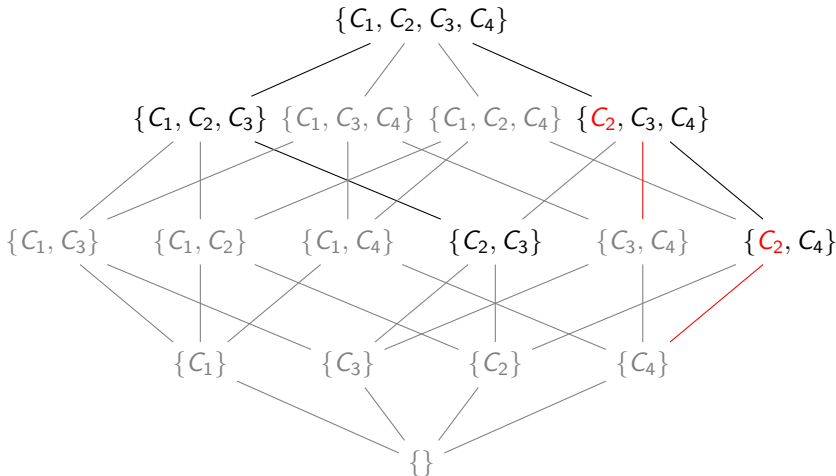
# Übersicht

- 1 Grundlagen
- 2 Interaktive MUS-Extraktion
- 3 Metlernen über Selektorvariablen**
  - Metlernen: Motivation
  - Metlernen: Grundidee
  - Lernen bei vergeblicher Löschung
  - Lernen bei erfolgreicher Löschung
  - Repräsentation der Metainstanz
  - Benchmark der eingesparten SAT-Aufrufe
- 4 Blockbasiertes Metlernen
- 5 Fazit

# Metalemen: Motivation



# Metaleernen: Motivation



# Metalemen: Motivation

## Allgemeine Betrachtung des Problems

- es würde genügen, neue Information über die Kritikalität einer Klausel in einer US in alle Untermengen zu propagieren
- ein Reduktionsgraph stellt aber nicht alle Untermengenrelationen zwischen den durch seine Knoten repräsentierten Klauselmengen dar
- haben also nichttriviale Abhängigkeiten zwischen der Präsenz oder Abwesenheit bestimmter Kombinationen von Klauseln in einer US und der Kritikalität anderer Klauseln in dieser US
- wie können wir diese Abhängigkeiten systematisch modellieren und möglichst vollständig ausnutzen?

# Metalemen: Grundidee

## Zusammenhänge zwischen Selektorvariablen

- die Anwesenheit einer Klausel haben wir bisher schon durch positive Setzung der entsprechenden Selektorvariable modelliert
- setzen wir eine Selektorvariable auf falsch, so hat der entsprechende Constraint keine Wirkung mehr (entspricht Abwesenheit der Klausel)
- ist eine Klausel  $C$  kritisch in  $F$ , können wir ihre Präsenz durch Setzen der Selektorvariable  $s$  erzwingen; ist  $C$  in einem  $F' \subset F$  kritisch, haben wir  $s$  unter den Bedingungen  $\{\neg s_i \mid C_i \in F \setminus F'\}$

## Idee: Metainstanz über Selektorvariablen

- wir erhalten aussagenlogische Constraints über Selektorvariablen, etliche davon sind Klauseln  $\{s, s_1, \dots, s_n\}$  (**Metaklauseln**)
- können diese zu einer **Metainstanz**  $G = \{D_1, \dots, D_n\}$  hinzufügen, um Wissen über nichttriviale Abhängigkeiten zu speichern

# Lernen bei vergeblicher Löschung

## Grundidee

- sind in US  $F'$ , haben festgestellt, dass  $F' \setminus \{C\}$  erfüllbar ist
- damit ist  $C$  kritisch in  $F'$  und allen seinen Untermengen

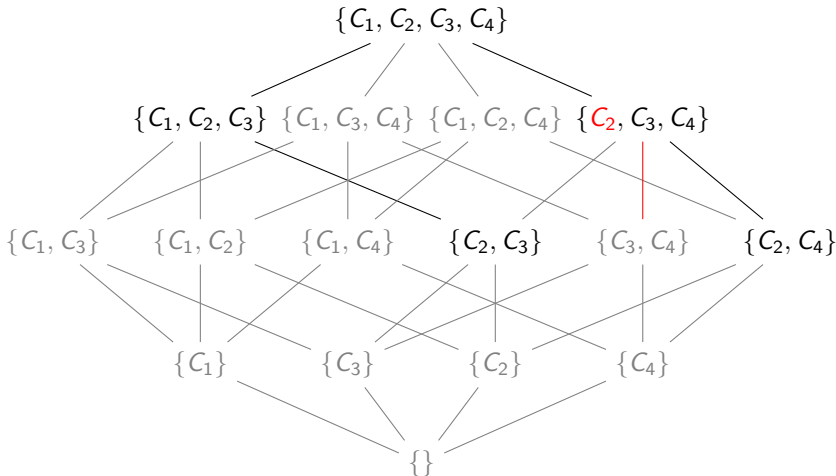
## Definition

Ein **nach oben gerichteter Keil erfüllbarer Untermengen (SAT-Keil)** besteht aus einer erfüllbaren Untermenge  $F' \subseteq F$  und allen ihren Untermengen, die dann ebenfalls erfüllbar sind.

## Repräsentation

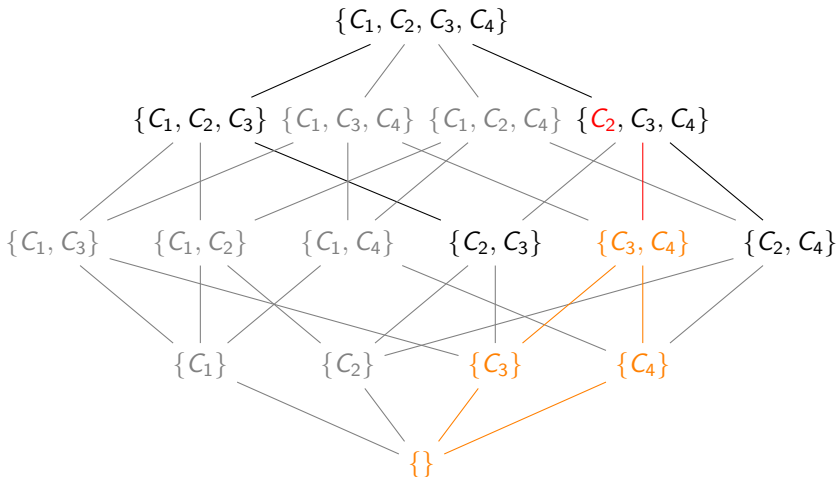
- für  $F \setminus F' = \{C_1, \dots, C_n\}$  wissen wir jetzt  $(s_1 \wedge \dots \wedge s_n) \rightarrow s$
- das lässt sich schreiben als Klausel  $\{s, s_1, \dots, s_n\}$
- entspricht der Negation der Repräsentation des neuen SAT-Keils durch negative Selektorlitterale

## Beispiel: Lernen eines SAT-Keils





## Beispiel: Lernen eines SAT-Keils



# Kritikalitätspropagation

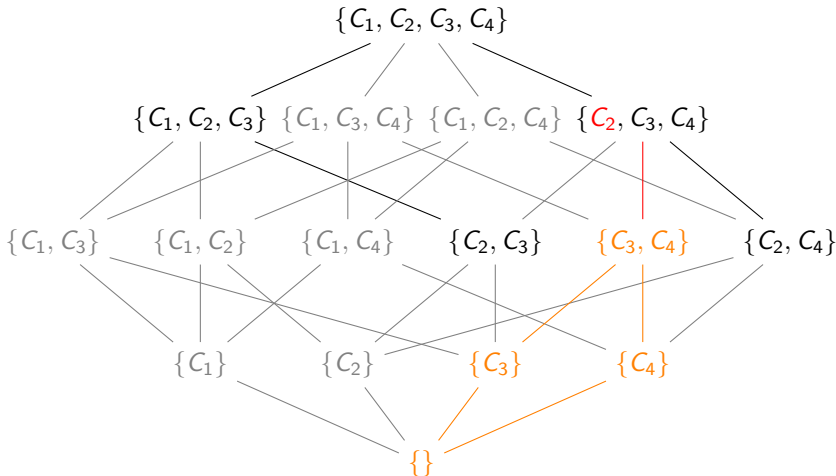
## Prüfung einer Klauselmenge auf SAT-Keil-Mitgliedschaft

- repräsentiere die Klauselmenge durch Selektor-Units
- löse die Metainstanz mit den Selektor-Units als Annahmen; bei Ergebnis UNSAT ist die Klauselmenge in einem SAT-Keil

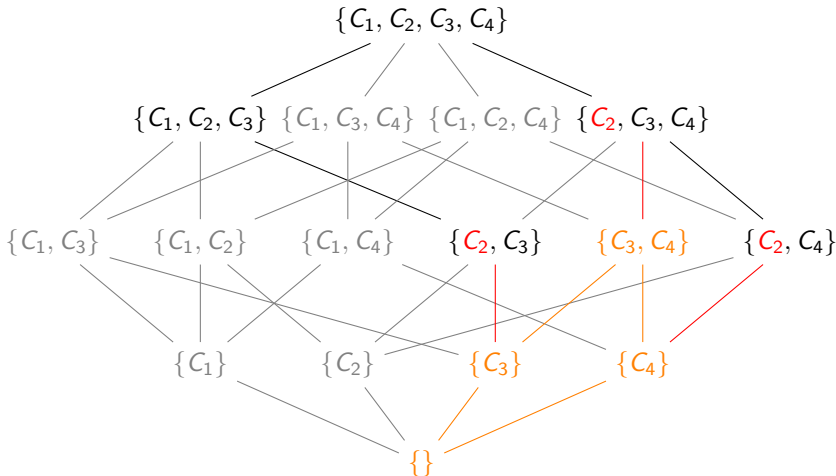
## Idee: Kritikalitätspropagation

- wollen für eine gegebene US schnell alle kritischen Klauseln finden, aber nicht für jede Klausel einen SAT-Aufruf machen müssen
- es reicht, die Selektor-Units für die US durch das Meta-Problem zu propagieren; werden dabei positive Selektorlitterale propagiert, so sind die entsprechenden Klauseln kritisch

## Beispiel: Kritikalitätspropagation



## Beispiel: Kritikalitätspropagation



# Lernen bei erfolgreicher Löschung

## Grundidee

- sind in US  $F'$ , haben festgestellt, dass  $F' \setminus \{C\}$  unerfüllbar ist
- damit ist  $C$  redundant in  $F'$  und allen seinen Obermengen

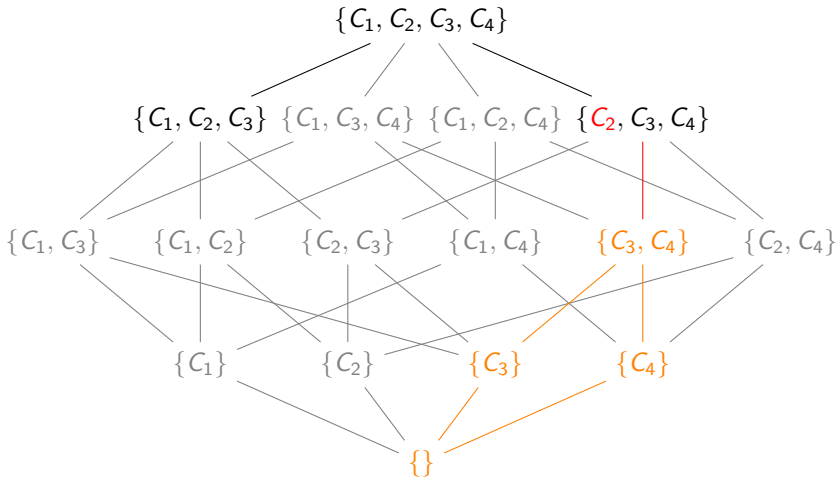
## Definition

Ein **nach unten gerichteter Keil unerfüllbarer Untermengen (UNSAT-Keil)** besteht aus einer unerfüllbaren Untermenge  $F' \subseteq F$  und allen ihren Obermengen, die dann ebenfalls unerfüllbar sind.

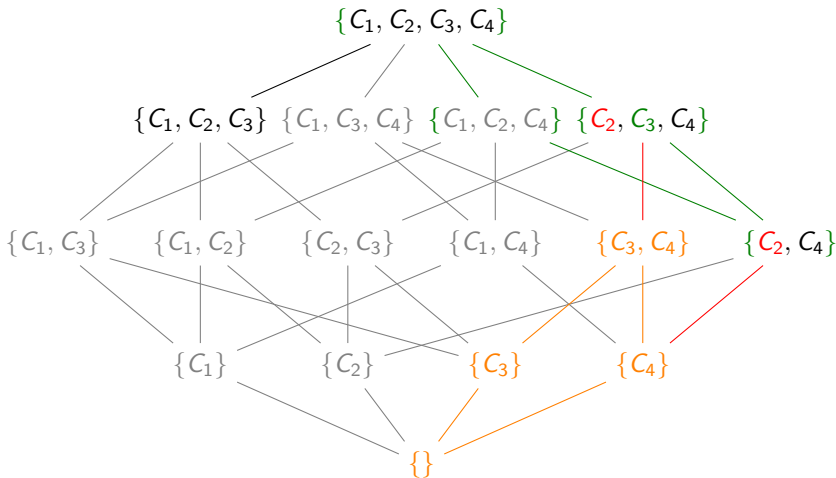
## Repräsentation

- für  $F \setminus (F' \setminus \{C\}) = \{C_1, \dots, C_n\}$  wissen wir jetzt, dass  $(s_1 \wedge \dots \wedge s_n)$  eine hinreichende Bedingung für Unerfüllbarkeit ist
- das lässt sich nicht als Klausel schreiben
- entspricht der positiven Repräsentation des neuen UNSAT-Keils

## Beispiel: Lernen eines UNSAT-Keils



## Beispiel: Lernen eines UNSAT-Keils



# Probleme mit UNSAT-Keilen

## Problem: UNSAT-Keile sind Minterme

- wir können beide Arten von Wissen nicht in einer CNF-Instanz mischen (in kanonische Form zu bringen wäre viel zu aufwändig und könnte die Metainstanz exponentiell aufblähen)
- bräuchten ein zweites Meta-Problem in DNF, müssten dann darauf entsprechende Infrastruktur für schnelle UNSAT-Keil-Mitgliedschaftsüberprüfung entwickeln

## UNSAT-Keile überflüssig?

- Klauselmengenverfeinerung begrenzt Nutzen von UNSAT-Keilen, die meisten redundanten Klauseln werden dadurch gefunden
- bei anderen MUS-Extraktionsalgorithmen sieht die Lage anders aus (bei Durchquerung des Teilmengenverbands von unten enthielten UNSAT-Keile die wichtige Information!)



# Metainstanz: Subsumption Checking

## Problem: SAT-Keile können einander enthalten

- mit mehr Wissen können sich SAT-Keile vergrößern, wenn wir feststellen, dass schon eine Obermenge einer bereits bekannten erfüllbaren Untermenge erfüllbar ist
- solche Relationen zu erkennen lohnt sich, denn nur der jeweils größere SAT-Keil muss gespeichert werden, und die Metainstanz kann sich dadurch stark vereinfachen

## Lösung: Subsumption Checking

- die Teilmengenrelationen zwischen SAT-Keilen erkennt man durch einen **rückwärtsgerichteten Subsumption Check**: für jede neue Metaklausel wird geprüft, ob sie schon vorhandene Klausel subsumiert; subsumierte Klauseln werden entfernt
- der umgekehrte Fall kommt nicht vor

# Metainstanz: Das Größenproblem

## Betrachtung zur Länge der Metaklauseln

- die Zahl der Selektorvariablen in einer Metaklausel hängt an der Größe des repräsentierten SAT-Keils: je kleiner der SAT-Keil, über desto mehr Selektorvariablen muss die Disjunktion gebildet werden
- MUSes in der Regel eher klein im Verhältnis zur Größe von  $F$   
⇒ sehr lange Klauseln!

## Betrachtung zur Zahl und Überlappung der Metaklauseln

- besonders in der Endphase der MUS-Extraktion hat man viele fehlgeschlagene Reduktionsversuche in der gleichen US
- man erhält Metaklauseln  $\{s_{17}, \dots, s_{1456}, s_3\}$ ,  $\{s_{17}, \dots, s_{1456}, s_5\}$ ,  $\{s_{17}, \dots, s_{1456}, s_{11}\}$ ,  $\{s_{17}, \dots, s_{1456}, s_{12}\}$ ,  $\{s_{17}, \dots, s_{1456}, s_{16}\}$  ...
- dort hilft auch Subsumption Checking nichts, man hat also sehr viele sehr lange Klauseln, die sich nur in einem Literal unterscheiden

# Benchmark der eingesparten SAT-Aufrufe

Instance name	no sharing	Random initial reduction graph depth			
		0	1	2	3
C168_FW_SZ_66.cnf	64 + 7	56 + 7	56 + 6	49 + 5	46 + 6
C170_FR_SZ_96.cnf	168 + 31	118 + 30	116 + 29	107 + 29	102 + 29
C202_FS_SZ_97.cnf	108 + 12	94 + 12	84 + 11	79 + 9	67 + 10
C202_FW_SZ_103.cnf	466 + 11	463 + 11	460 + 10	442 + 10	439 + 10
C220_FV_SZ_55.cnf	915 + 14	806 + 14	806 + 13	801 + 13	798 + 13

## Anmerkungen

- Ergebnis der Durchläufe dreier Reduktionsagenten mit unterschiedlichen Standardheuristiken
- um vorherige Kenntnis des Reduktionsgraphen zu simulieren, wurden in jedem Knoten zufällig fünf Knoten von unbekanntem Status gewählt und reduziert, und das rekursiv bis zu einer Tiefe  $n$
- links die Zahl der SAT-Aufrufe mit Ergebnis SAT, rechts UNSAT

# Übersicht

- 1 Grundlagen
- 2 Interaktive MUS-Extraktion
- 3 Metalernen über Selektorvariablen
- 4 Blockbasiertes Metalernen**
  - Kompression durch eine Blockpartition
  - Kompression durch einen Blockbaum
- 5 Fazit

## Blockpartition: Definitionen

### Definition

Eine **Blockpartition** ist eine Menge  $\mathcal{B} := \{B_1, \dots, B_k\}$  von Klauselmengen oder **Blöcken**  $B_j \subseteq F$  so, dass für alle  $1 \leq i \neq j \leq k$  gilt  $B_i \cap B_j = \emptyset$ , d.h. die Blöcke sind disjunkt. Wir stellen zusätzlich die Bedingung  $\bigcup B_j = F$ , d.h. jede Klausel in  $F$  muss einem Block zugeordnet sein.

### Definition

Die **Blockzugriffsfunktion** ist definiert als  $block(s_i) := B_j$  mit  $C_i \in B_j$ .

### Definition

Für einen ganzzahligen Schwellenwert  $n_{max} \geq 0$  heißt eine Metainstanz  $G := \{D_1, \dots, D_n\}$  für eine CNF-Instanz  $F$   **$n_{max}$ -repräsentierbar** in einer Blockpartition  $\mathcal{B}$  über  $F$  gdw. für jedes  $1 \leq i \leq n$  und jedes  $s_{ij} \in D_i$  mit  $|block(s_{ij}) \cap D_i| > n_{max}$  gilt  $block(s_{ij}) \subseteq D_i$ .

## Blockpartition: Eigenschaften

### Kompression durch eine Blockpartition

Ist eine Metainstanz  $G$  für  $F$   $n_{max}$ -repräsentierbar in einer Blockpartition  $\mathcal{B}$  über  $F$ , so kann man sehr intuitiv eine **Kompression**  $G'$  von  $G$  durch  $\mathcal{B}$  definieren, die eine neue Selektorvariable für jeden Block einführt.

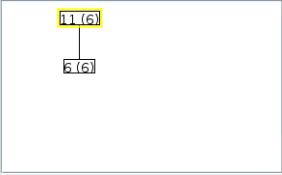
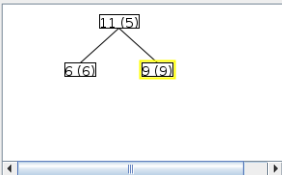
### Erfüllbarkeitsäquivalenz der Kompression

Für eine CNF-Instanz  $F$  und eine Blockpartition  $\mathcal{B}$  über  $F$  ist eine beliebige Metainstanz  $G$ , die in  $\mathcal{B}$   $n_{max}$ -repräsentierbar ist, erfüllbar gdw. die Kompression  $G'$  von  $G$  durch  $\mathcal{B}$  erfüllbar ist.

### Erhalt der Propagation unter Metainstanzkompression

Für die Repräsentation  $\{l_1, \dots, l_k\} := \{s_i \mid C_i \in F'\} \cup \{\neg s_i \mid C_i \notin F'\}$  eines  $F' \subseteq F$  und jede Kompression  $G'$  einer Metainstanz  $G$  für  $F$  wird jede durch Propagation auf  $G \cup \{\{l_1\}\} \cup \dots \cup \{\{l_k\}\}$  hergeleitete Unitklausel auch durch Propagation auf  $G' \cup \{\{l_1\}\} \cup \dots \cup \{\{l_k\}\}$  hergeleitet.

# Blockpartition: Beispiel und Visualisierung

<b>Reduction graph</b> 	<b>Meta Instance</b> 1: {13,14} 2: {-13,1,2,3,4,7} 3: {-14,5,6,8,9,10,11}	<b>Current US</b> 1: {-2,4,6} 2: {-6,-7} 3: {-6,8} 4: {-8,7} 5: {-1,2} 6: {1,4} 7: {-1,2} <b>8: {-2,-1}</b> 9: {3,-4} 10: {-4,5} 11: {-3,-5}
<b>Reduction graph</b> 	<b>Meta Instance</b> 1: {15,16,17,18} 2: {-15,7} 3: {-16,1,2,3,4} 4: {-17,8} 5: {-18,5,6,9,10,11}	<b>Current US</b> 1: {-2,4,6} 2: {-6,-7} 3: {-6,8} 4: {-8,7} 5: {-1,2} 6: {1,4} 9: {3,-4} 10: {-4,5} 11: {-3,-5}

# Blockbaum: Definition

## Definition

Ein **Blockbaum** ist ein Tupel  $\mathcal{BT} := (V, E) :=$   
 $(\{B_0, B_1, \dots, B_k\}, \{(B_i, B_j) \mid B_i \supset B_j, \neg \exists h: B_i \supset B_h \supset B_j\})$ , wieder  
basierend auf Blöcken  $B_j \subseteq F$ . Wir fordern für alle Blöcke  $B_h, B_i, B_j$ ,  
dass  $(B_h, B_i), (B_h, B_j) \in E \Rightarrow B_i \cap B_j = \emptyset$ , sowie  $\bigcup_{(B_i, B_j) \in E} B_j = B_i$ ,  
womit jedes Element eines Blocks auch in genau einem Kindblock ist.  
Außerdem fordern wir die Existenz eines **Wurzelblocks**  $F =: B_0 \in V$ .

## Definition

Menge der **Blattblöcke**  $L(\mathcal{BT}) := \{B_i \in V \mid \neg \exists B_j \in V: (B_i, B_j) \in E\}$ ,  
**leafBlock( $s_i$ )** bezeichnet den zu  $C_i$  gehörenden Blattblock  $B_k \in L(\mathcal{BT})$

## Eigenschaften

- $L(\mathcal{BT})$  bildet eine Blockpartition über  $F$
- $n_{max}$ -Repräsentierbarkeit mittels  $leafBlock(s_i)$  statt  $block(s_i)$



# Blockbaum: Eigenschaften

## Kompression durch einen Blockbaum

Ist eine Metainstanz  $G$  für  $F$   $n_{max}$ -repräsentierbar in einem Blockbaum  $\mathcal{BT}$  über  $F$ , so kann man eine **Kompression**  $G^T$  von  $G$  durch  $\mathcal{BT}$  definieren, die eine neue Selektorvariable für jeden Block einführt und die  $\subseteq$ -Verhältnisse zwischen Blöcken durch zusätzliche Metaklauseln kodiert.

## Erfüllbarkeitsäquivalenz der baumbasierten Kompression

Für einen Blockbaum  $\mathcal{BT}$  über  $F$  ist eine in  $\mathcal{BT}$   $n_{max}$ -repräsentierbare Metainstanz  $G$  erfüllbar gdw. es die Kompression  $G^T$  durch  $\mathcal{BT}$  ist.

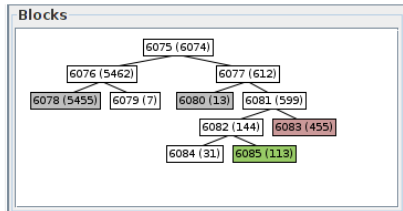
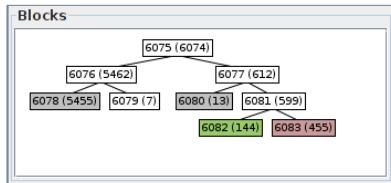
## Erhalt der Propagation unter baumbasierter Kompression

Für die Repräsentation  $\{l_1, \dots, l_k\} := \{s_i | C_i \in F'\} \cup \{\neg s_i | C_i \notin F'\}$  eines  $F' \subseteq F$  und jede Kompression  $G^T$  einer Metainstanz  $G$  für  $F$  wird jede durch Propagation auf  $G \cup \{\{l_1\}\} \cup \dots \cup \{\{l_k\}\}$  hergeleitete Unitklausel auch durch Propagation auf  $G^T \cup \{\{l_1\}\} \cup \dots \cup \{\{l_k\}\}$  hergeleitet.

# Blockbaum: Beispiel und Visualisierung

## Funktionalität der Visualisierung

- beim Lernen von Metaklauseln wird ein Blockbaum inferiert, indem  $G$  stets  $n_{max}$ -repräsentierbar gehalten wird
- beim Doppelklick auf einen Block im Baum wird zunächst versucht, alle Elemente des Blocks simultan zu löschen; misslingt dies, werden die Elemente einer nach dem anderen reduziert, bis der gesamte Block als kritisch bestimmt wurde oder sich spaltet



# Übersicht

- 1 Grundlagen
- 2 Interaktive MUS-Extraktion
- 3 Metalernen über Selektorvariablen
- 4 Blockbasiertes Metalernen
- 5 Fazit**

# Zentrale Erkenntnisse aus der Diplomarbeit

## Interaktive MUS-Extraktion

- die Suchräume bei der Suche nach MUSes können sehr komplexe Struktur haben, deren interaktive Erkundung lohnenswert erscheint
- aufbauend auf Minisat und ein existierendes Framework für grafisches Debuggen ließ sich die Idee in einem Prototypen umsetzen

## Metalernen von SAT-Keilen

- durch Verwaltung einer Metainstanz über den Selektorvariablen kann man die zunehmende Kenntnis des Suchraums repräsentieren und dadurch SAT-Aufrufe einsparen
- aus Effizienzgründen muss die Metainstanz komprimiert werden, dabei entstehen wiederum interessante Strukturen, die Aufschluss über das Zusammenspiel von Klauselgruppen geben

## Anwendung auf industrielle Instanzen

### Problem: keine symbolische Information

- die Evaluation anhand von Anwendungsinstanzen ist schwierig, weil in Benchmarks normalerweise keine Information über die Semantik der Symbole enthalten ist (oft aus Geheimhaltungsgründen)
- selbst wenn Instanzen mit symbolischer Information beschaffbar gewesen wären, hätte die Evaluation vermutlich zu viel Einarbeitung in einen Anwendungskontext erfordert

### Eigene Anwendung: Grammar Engineering

- in Kapitel 6 der Diplomarbeit Entwicklung einer SAT-Kodierung für ein Problem aus dem eigenen Anwendungsbereich: die Fehlersuche in symbolischen Grammatiken natürlicher Sprache
- gefundene MUSes gut interpretierbar, Suchräume haben interessante Struktur; Reduktionsgraphen sind aber generell zu flach und schöpfen Potential nicht aus, daher wenig aussagekräftig

## Literaturhinweise

### Diplomarbeit mit Beweisen und weiterführenden Gedanken

Johannes Dellert: **Interactive Extraction of Minimal Unsatisfiable Cores Enhanced By Meta Learning**. Uni Tübingen 2013.

### Löschungsbasierte MUS-Extraktion mit Selektorvariablen

Alexander Nadel: **Boosting minimal unsatisfiable core extraction**. Formal Methods in Computer-Aided Design (FMCAD) 2010.

### Neuere Entwicklungen in der MUS-Extraktion

João P. Marques-Silva & Inês Lynce: **On Improving MUS Extraction Algorithms**. Theory & Applications of Satisfiability Testing (SAT) 2011.

## Schluss & Diskussion

Vielen Dank für die Aufmerksamkeit! Fragen?